

惯性导航与组合导航

高翔



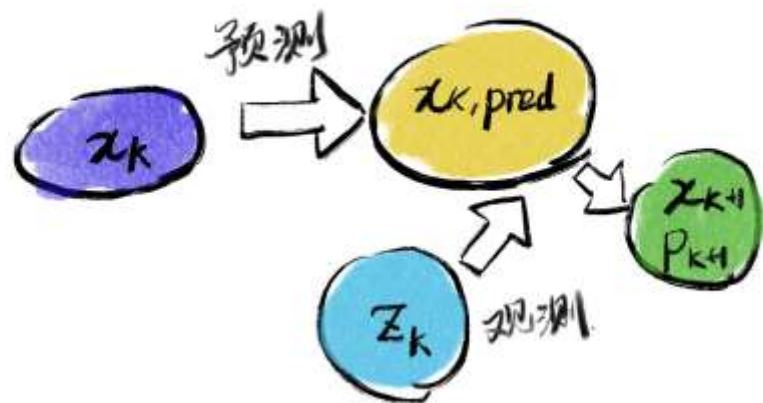


章节内容

- IMU系统运动学
- 使用IMU进行航迹推算
- 卫星导航
- ESKF理论推导
- ESKF的实现

$$\begin{aligned}\delta x_{\text{pred}} &= F \delta x \\ P_{\text{pred}} &= F P F^T + Q \\ K &= P_{\text{pred}} H^T (H P_{\text{pred}} H^T + V)^{-1} \\ \delta z &= K (z - h(x_{\text{pred}})) \\ x &= x_{\text{pred}} + \delta x \\ P &= (I - K H) P_{\text{pred}}\end{aligned}$$

ESKF 又简单, 又好用
一学就会!



1. IMU系统运动学



IMU系统运动学

在开始本节课程内容之前，我们先回答一个问题

- 人类是如何驾驭复杂系统的？



IMU系统运动学

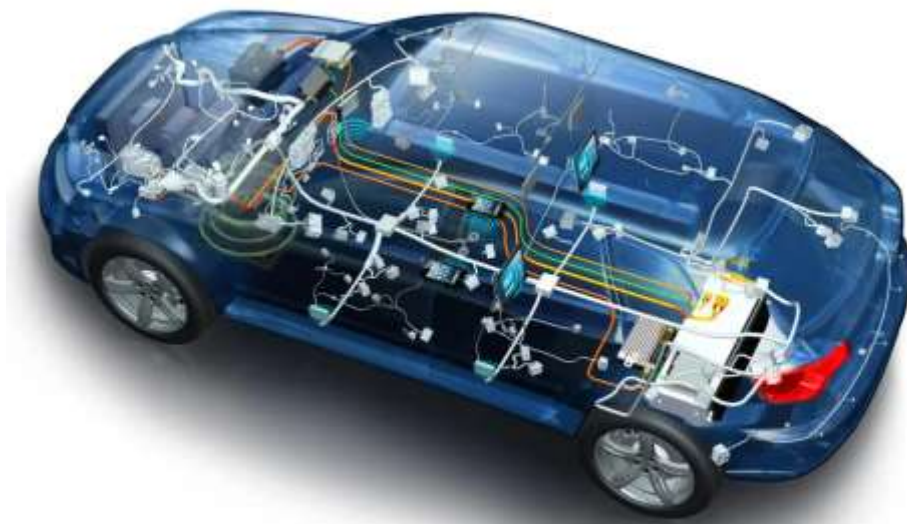
从原理上说，汽车是一个相当复杂的系统。但驾驶汽车的人需要完全理解汽车工作原理吗？

实际上只需要知道：

- 踩下油门=汽车会前进
- 踩下刹车=汽车会停止
- 转动方向盘=汽车会转向

计算机也是一样：

- 编程人员：int a = 0; 函数声明、调用；向服务器读取网页；
- 计算机：读写内存、读写寄存器，调用CPU指令；
- 电路：高低电平变换、控制、通讯。



无论是电机、发动机，还是机械、电子或者其他控制机构，给用户的接口永远是最简单的！

复杂系统永远需要向它的用户封装实现细节。



IMU系统运动学

传感器也需要封装这些内容：

- 温度计向用户输出温度，用户不在意内部是用水银测量还是电阻测量；
- 摄像头向用户输出视频，用户不必在意内部使用什么样的控制电路。

同理，站在惯性导航使用者角度来说，我们应该关心：

- IMU测量什么物理量？
- GNSS/GPS/RTK测量什么物理量？
- 它们的噪声是什么形式？

希望传感器能够封装它的细节：

- 不需要了解GNSS如何跟卫星或基站通信；
- 不需要了解IMU内部如何测量这些物理量。



IMU系统运动学

□ 系统运动学

$$\dot{R} = R\omega^\wedge, \quad \text{或} \quad \dot{q} = \frac{1}{2}q\omega,$$

$$\dot{p} = v,$$

$$\dot{v} = a.$$

注:

- 本课程统一使用 wb 右侧下标, 故大部分公式可以省略下标;
- 速度和加速度默认取世界坐标系;
- 此处没有考虑重力, 假设在宇宙或者虚拟空间。

□ IMU测量角速度与车体的加速度

$$\tilde{a} = R^\top a,$$

$$\tilde{\omega} = \omega.$$

注:

- 上波浪表示测量值 (有确定的数值)

这就是IMU的观测方程 (连续时间) 。



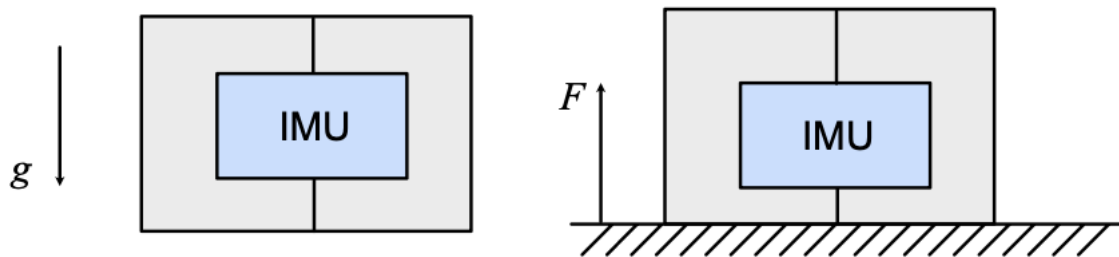
IMU系统运动学

□ IMU测量角速度与车体的加速度

地球表面受重力影响，所以实际测量值多一个重力：

$$\tilde{a} = R^T(a - g),$$

$$\tilde{\omega} = \omega.$$



一些解释：

1. 车辆默认XYZ=前左上，Z指向上，所以 g 指向 $-Z$ 方向；
2. 在地球上：物体自由落体时，IMU测不到加速度；物体静止时，IMU测到向上的支持力；
3. 因此：
 - 自由落体时，测到的加速度为零，实际 $a = g$ ；
 - 水平静止时，测到的加速度为 $-g$ ，实际 $a = 0$ ；
4. 部分书籍使用的坐标系方向、符号都可能不同，所以测量方程也可能写成 $a + g$ 形式，同时 g 取反向；
5. 有些实际的IMU会事先把 g 去掉，此时公式里就不含 g 。

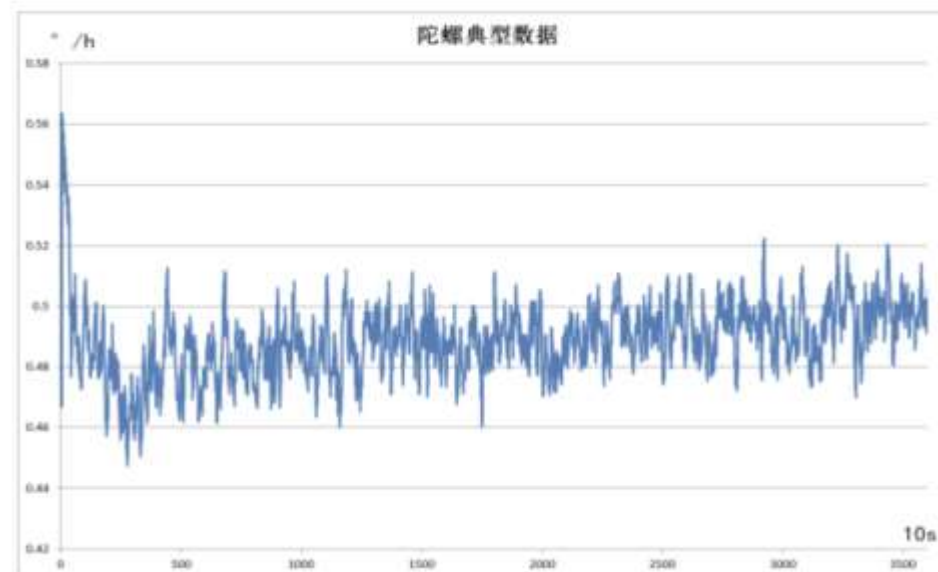


IMU系统运动学

□ IMU噪声模型

- IMU除了受测量噪声影响以外，还受零偏的影响；
- 零偏：实际角速度、加速度=0时，传感器仍有非零值。

$$\begin{aligned}\tilde{a} &= R^T(a - g) + b_a + \eta_a, & \text{零偏为 } b_g, b_a \\ \tilde{\omega} &= \omega + b_g + \eta_g, & \text{测量噪声分别为 } \eta_g, \eta_a\end{aligned}$$





IMU系统运动学

□ IMU噪声模型

$$\tilde{\mathbf{a}} = \mathbf{R}^\top (\mathbf{a} - \mathbf{g}) + \mathbf{b}_a + \boldsymbol{\eta}_a, \quad \text{零偏为 } \mathbf{b}_g, \mathbf{b}_a$$

$$\tilde{\boldsymbol{\omega}} = \boldsymbol{\omega} + \mathbf{b}_g + \boldsymbol{\eta}_g. \quad \text{测量噪声分别为 } \boldsymbol{\eta}_g, \boldsymbol{\eta}_a$$

连续时间下，测量噪声 $\boldsymbol{\eta}_g, \boldsymbol{\eta}_a$ 为零均值高斯过程，零偏 $\mathbf{b}_g, \mathbf{b}_a$ 为布朗运动。

噪声为零均值高斯过程：

$$\mathbf{w}(t) \sim \mathcal{GP}(\mathbf{0}, \boldsymbol{\Sigma} \delta(t - t')),$$

能量谱密度矩阵

零偏为布朗运动：

$$\dot{\mathbf{b}}(t) = \boldsymbol{\eta}_b(t),$$

一阶导数为高斯过程

$$\dot{\mathbf{b}}_a(t) = \boldsymbol{\eta}_{ba}(t) \sim \mathcal{GP}(\mathbf{0}, \text{Cov}(\mathbf{b}_a) \delta(t - t')),$$

$$\dot{\mathbf{b}}_g(t) = \boldsymbol{\eta}_{bg}(t) \sim \mathcal{GP}(\mathbf{0}, \text{Cov}(\mathbf{b}_g) \delta(t - t')).$$

注：

1. 由于角速度、加速度亦是角度、速度的导数，所以也可以将角速度、加速度测量噪声称为角度随机游走、速度随机游走；
2. 零偏并不是客观存在的物理量，而是一种数学模型，没有什么测量零偏的仪器；
3. 平时更实用的是离散时间模型，连续时间模型了解其定义即可。



IMU系统运动学

IMU噪声模型

$$\tilde{\mathbf{a}} = \mathbf{R}^\top (\mathbf{a} - \mathbf{g}) + \mathbf{b}_a + \boldsymbol{\eta}_a, \quad \text{零偏为 } \mathbf{b}_g, \mathbf{b}_a$$

$$\tilde{\boldsymbol{\omega}} = \boldsymbol{\omega} + \mathbf{b}_g + \boldsymbol{\eta}_g. \quad \text{测量噪声分别为 } \boldsymbol{\eta}_g, \boldsymbol{\eta}_a$$

我们平时处理的是离散时间下的测量值

$$\dot{\mathbf{R}} = \mathbf{R} \boldsymbol{\omega}^\wedge \quad \mathbf{R}(t) = \mathbf{R}(t_0) \exp(\boldsymbol{\omega}^\wedge(t - t_0)).$$

离散时间噪声:

$$\begin{aligned} \boldsymbol{\eta}_g(k) &\sim \mathcal{N}(\mathbf{0}, \frac{1}{\Delta t} \text{Cov}(\boldsymbol{\eta}_g)), & \mathbf{b}_g(k+1) - \mathbf{b}_g(k) &\sim \mathcal{N}(\mathbf{0}, \Delta t \text{Cov}(\mathbf{b}_g)), \\ \boldsymbol{\eta}_a(k) &\sim \mathcal{N}(\mathbf{0}, \frac{1}{\Delta t} \text{Cov}(\boldsymbol{\eta}_a)), & \mathbf{b}_a(k+1) - \mathbf{b}_a(k) &\sim \mathcal{N}(\mathbf{0}, \Delta t \text{Cov}(\mathbf{b}_a)). \end{aligned}$$

实际中甚至不使用协方差矩阵，而是用对角线上的标准差： 它们的物理量纲：

$$\begin{aligned} \sigma_g(k) &= \frac{1}{\sqrt{\Delta t}} \sigma_g, & \sigma_a(k) &= \frac{1}{\sqrt{\Delta t}} \sigma_a, \\ \sigma_{bg}(k) &= \sqrt{\Delta t} \sigma_{bg}, & \sigma_{ba}(k) &= \sqrt{\Delta t} \sigma_{ba}. \end{aligned}$$

离散

连续

$$\sigma_g \rightarrow \frac{\text{rad}}{\sqrt{s}}, \quad \sigma_a \rightarrow \frac{m}{s\sqrt{s}}, \quad \sigma_{bg} \rightarrow \frac{\text{rad}}{s\sqrt{s}}, \quad \sigma_{ba} \rightarrow \frac{m}{s^2\sqrt{s}}.$$

$$\sigma_g(k) \rightarrow \frac{\text{rad}}{s}, \quad \sigma_a(k) \rightarrow \frac{m}{s^2}, \quad \sigma_{bg}(k) \rightarrow \frac{\text{rad}}{s}, \quad \sigma_{ba}(k) \rightarrow \frac{m}{s^2}.$$



IMU系统运动学

实际手册中的参数

- 角速度测量噪声=角度随机游动
- 加速度测量噪声=速度随机游动
- 零偏噪声=偏置稳定度

各领域称呼存在微小差别

- 有些量以离散形式给出，有些量则以连续形式给出，注意用量纲来区分



ADIS16448

技术规格

除非另有说明， $T_A = 25^\circ\text{C}$ ， $V_{DD} = 3.3\text{ V}$ ，角速率 = $0^\circ/\text{秒}$ ，动态范围 = $\pm 1000^\circ/\text{秒} \pm 1\text{ g}$ 。

表1.

参数	测试条件/注释	最小值	典型值	最大值	单位
陀螺仪					
动态范围		± 1000	± 1200		$^\circ/\text{sec}$
初始灵敏度	$\pm 1000^\circ/\text{s}$ ，参见表12		0.04		$^\circ/\text{sec}/\text{LSB}$
	$\pm 500^\circ/\text{s}$ ，参见表12		0.02		$^\circ/\text{sec}/\text{LSB}$
	$\pm 250^\circ/\text{s}$ ，参见表12		0.01		$^\circ/\text{sec}/\text{LSB}$
可重复性 ¹	$-40^\circ\text{C} \leq T_A \leq +70^\circ\text{C}$			1	%
灵敏度温度系数	$-40^\circ\text{C} \leq T_A \leq +70^\circ\text{C}$		± 40		$\text{ppm}/^\circ\text{C}$
对准误差	轴到轴		± 0.05		度
	轴到框架(封装)		± 0.5		度
非线性度	最佳拟合直线		± 0.1		% of FS
偏置可重复性 ^{1,2}	$-40^\circ\text{C} \leq T_A \leq +70^\circ\text{C}$ ， 1σ		0.5		$^\circ/\text{sec}$
运动中偏置稳定度	1σ ，SMPL_PRD = $0x0001$		14.5		$^\circ/\text{hr}$
角度随机游动	1σ ，SMPL_PRD = $0x0001$		0.66		$^\circ/\sqrt{\text{hr}}$
偏置温度系数	$-40^\circ\text{C} \leq T_A \leq +70^\circ\text{C}$		0.005		$^\circ/\text{sec}/^\circ\text{C}$
线性加速度对偏置的影响	任意轴， 1σ (MSC_CTRL[6] = 1)		0.015		$^\circ/\text{sec}/\text{g}$
偏置电源灵敏度	$-40^\circ\text{C} \leq T_A \leq +70^\circ\text{C}$		0.2		$^\circ/\text{sec}/\text{V}$
输出噪声	$\pm 1000^\circ/\text{s}$ 范围，无滤波		0.27		$^\circ/\text{sec rms}$
速率噪声密度	$f = 25\text{ Hz}$ ， $\pm 1000^\circ/\text{s}$ 范围，无滤波		0.0135		$^\circ/\text{sec}/\sqrt{\text{Hz rms}}$
-3 dB带宽			330		Hz
传感器谐振频率			17.5		kHz
加速度计	各轴				
动态范围		± 18			g
灵敏度	数据格式参见表16		0.833		mg/LSB
可重复性 ¹	$-40^\circ\text{C} \leq T_A \leq +70^\circ\text{C}$			1	%
灵敏度温度系数	$-40^\circ\text{C} \leq T_A \leq +70^\circ\text{C}$		± 40		$\text{ppm}/^\circ\text{C}$
对准误差	轴到轴		0.2		度
	轴到框架(封装)		± 0.5		度
非线性度	最佳拟合直线		0.2		% of FS
偏置可重复性 ^{1,2}	$-40^\circ\text{C} \leq T_A \leq +70^\circ\text{C}$ ， 1σ		20		mg
运动中偏置稳定度	1σ ，SMPL_PRD = $0x0001$		0.25		mg
速度随机游动	1σ ，SMPL_PRD = $0x0001$		0.11		$\text{m}/\text{sec}/\sqrt{\text{hr}}$
偏置温度系数	$-40^\circ\text{C} \leq T_A \leq +70^\circ\text{C}$		± 0.15		$\text{mg}/^\circ\text{C}$
偏置电源灵敏度	$-40^\circ\text{C} \leq T_A \leq +70^\circ\text{C}$		5		mg/V
输出噪声	无滤波		5.1		mg rms
噪声密度	无滤波		0.23		$\text{mg}/\sqrt{\text{Hz rms}}$
-3 dB带宽			330		Hz
传感器谐振频率			5.5		kHz



IMU系统运动学

□ 是否可以直接使用IMU测量值来推算运动轨迹？

- 原则上可以，但受噪声影响太大。

下面通过理论和实验证明，

将IMU测量值代入运动学方程：

$$\dot{\mathbf{R}} = \mathbf{R}(\tilde{\boldsymbol{\omega}} - \mathbf{b}_g)^\wedge, \quad \text{或} \quad \dot{\mathbf{q}} = \mathbf{q} \left[0, \frac{1}{2} (\tilde{\boldsymbol{\omega}} - \mathbf{b}_g) \right],$$

$$\dot{\mathbf{p}} = \mathbf{v},$$

$$\dot{\mathbf{v}} = \mathbf{R}(\tilde{\mathbf{a}} - \mathbf{b}_a) + \mathbf{g}.$$

连续时间形式

$$\mathbf{R}(t + \Delta t) = \mathbf{R}(t) \text{Exp}((\tilde{\boldsymbol{\omega}} - \mathbf{b}_g) \Delta t), \quad \text{或} \quad \mathbf{q}(t + \Delta t) = \mathbf{q}(t) \left[1, \frac{1}{2} (\tilde{\boldsymbol{\omega}} - \mathbf{b}_g) \Delta t \right],$$

$$\mathbf{p}(t + \Delta t) = \mathbf{p}(t) + \mathbf{v} \Delta t + \frac{1}{2} (\mathbf{R}(t)(\tilde{\mathbf{a}} - \mathbf{b}_a)) \Delta t^2 + \frac{1}{2} \mathbf{g} \Delta t^2,$$

$$\mathbf{v}(t + \Delta t) = \mathbf{v}(t) + \mathbf{R}(t)(\tilde{\mathbf{a}} - \mathbf{b}_a) \Delta t + \mathbf{g} \Delta t.$$

离散时间形式

注：

- $\tilde{\boldsymbol{\omega}}$ 表示IMU测量角速度， $\tilde{\mathbf{a}}$ 表示车体的加速度
- 上波浪表示测量值（有确定的数值）



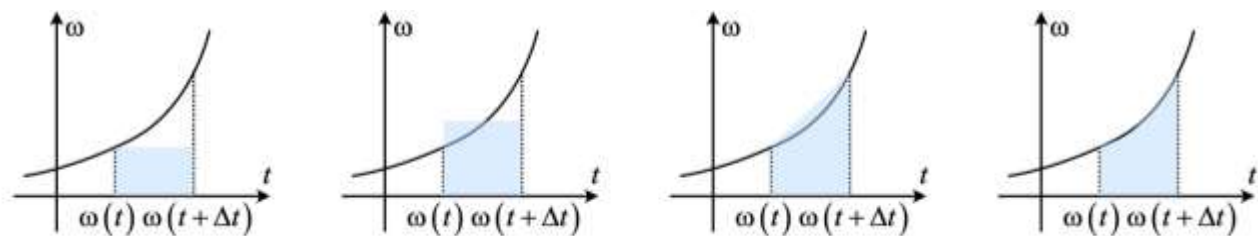
IMU系统运动学

IMU系统的递推方程式

$$\mathbf{R}(t + \Delta t) = \mathbf{R}(t) \text{Exp}((\tilde{\omega} - \mathbf{b}_g) \Delta t), \quad \text{或} \quad \mathbf{q}(t + \Delta t) = \mathbf{q}(t) \left[1, \frac{1}{2} (\tilde{\omega} - \mathbf{b}_g) \Delta t \right],$$

$$\mathbf{p}(t + \Delta t) = \mathbf{p}(t) + \mathbf{v} \Delta t + \frac{1}{2} (\mathbf{R}(t)(\tilde{\mathbf{a}} - \mathbf{b}_a)) \Delta t^2 + \frac{1}{2} \mathbf{g} \Delta t^2,$$

$$\mathbf{v}(t + \Delta t) = \mathbf{v}(t) + \mathbf{R}(t)(\tilde{\mathbf{a}} - \mathbf{b}_a) \Delta t + \mathbf{g} \Delta t.$$



需要假设离散时刻之间的角速度固定

累计形式:

$$\mathbf{R}_j = \mathbf{R}_i \prod_{k=i}^{j-1} \text{Exp}((\tilde{\omega}_k - \mathbf{b}_{g,k}) \Delta t) \quad \text{或} \quad \mathbf{q}_j = \mathbf{q}_i \prod_{k=i}^{j-1} \left[1, \frac{1}{2} (\tilde{\omega}_k - \mathbf{b}_{g,k}) \Delta t \right], \quad \text{该式可以处理多个IMU数据}$$

$$\mathbf{p}_j = \mathbf{p}_i + \sum_{k=i}^{j-1} \left[\mathbf{v}_k \Delta t + \frac{1}{2} \mathbf{g} \Delta t^2 \right] + \frac{1}{2} \sum_{k=i}^{j-1} \mathbf{R}_k (\tilde{\mathbf{a}}_k - \mathbf{b}_{a,k}) \Delta t^2,$$

$$\mathbf{v}_j = \mathbf{v}_i + \sum_{k=i}^{j-1} [\mathbf{R}_k (\tilde{\mathbf{a}}_k - \mathbf{b}_{a,k}) \Delta t + \mathbf{g} \Delta t].$$

2. 使用IMU进行航迹推算



使用IMU进行航迹推算

□ 代码实验

3. 卫星导航



卫星导航

□ 单纯依靠IMU进行递推，状态会很快发散

- 实际上，主要是平移部分会快速发散，因为没有速度观测；
- 通常IMU都会和其他传感器进行融合，GNSS是最为常见的一种；



- GNSS本身的输出非常简单：世界坐标系下的 R, t 。



卫星导航

□ 常用的GNSS

- 单点定位：常用于手机等手持设备，提供10m级别的定位能力；
- RTK（real time kinematics）：载波相位差分，提供厘米级定位能力，需要和基站通信。



RTK接收器：蘑菇头

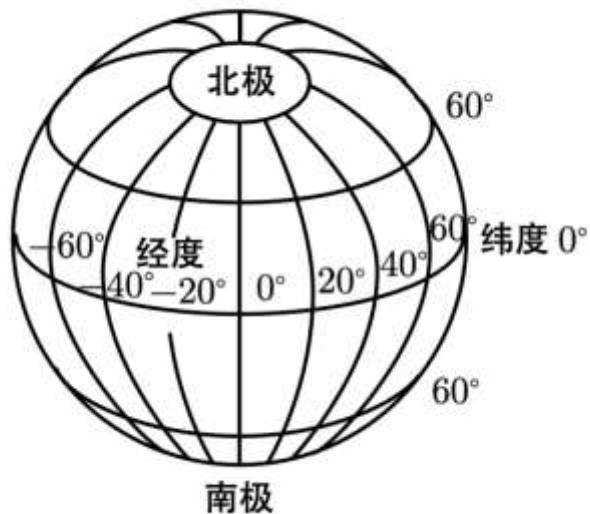
- 通常由两个接收器来测量车头和车尾位置，从而得到车辆姿态，称为双天线方案。其中一个称为主天线，一个称为副天线。



卫星导航

□ RTK的地理信息

- RTK输出的全局坐标通常在地球上的某个固定坐标系中



地理坐标系：经度、纬度、高度

优点：全球唯一，表达方式简单

缺点：与米制坐标不兼容，两极有奇异点，实际使用时有效数字位较多



卫星导航

□ UTM坐标系

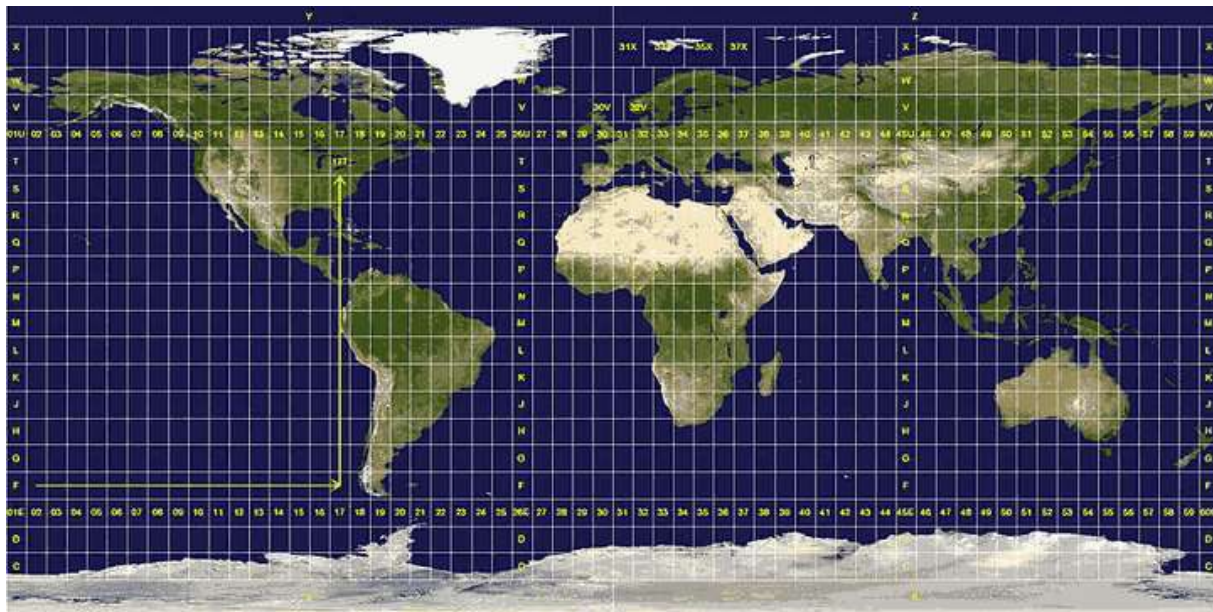
- 将地球表面投影，展开
- 经度分为60个区，纬度分为20个度
- 每个区内 x 为东， y 为北
- 每个区的中心线取 $x = 500000$

UTM优点

- 兼容米制坐标
- 兼容东北天的右手系

UTM缺点

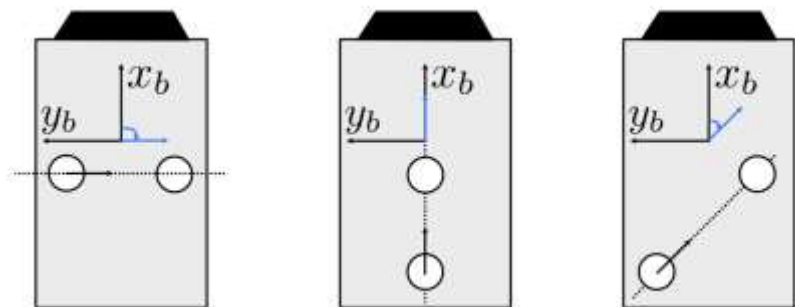
- 表达时要带上区号
- 跨区要单独处理
- 两极畸变较大





卫星导航

□ 使用双天线RTK测量车体坐标



可以自由定义两个天线的安装方式

- 通常称两个天线的夹角为**安装偏角**，平移为**安装偏移**，简单来说就是外参。

双天线RTK的例子

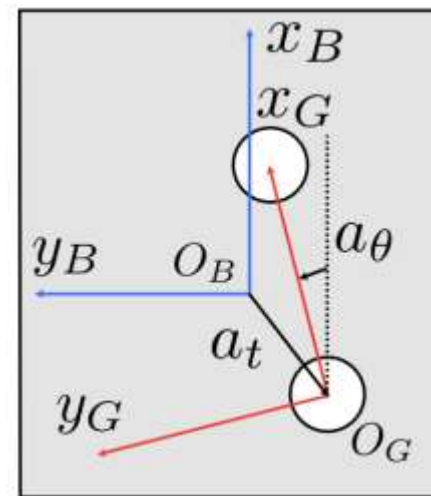
记 G 为GPS系， B 为车体系，那么外参写为 \mathbf{T}_{BG} ，RTK读数记为 \mathbf{T}_{WG} ，

那么车辆的实际位姿为：

$$\mathbf{T}_{WB} = \mathbf{T}_{WG} \mathbf{T}_{GB}.$$

或 $\mathbf{R}_{WB} = \mathbf{R}_{WG} \mathbf{R}_{GB}$, $\mathbf{t}_{WB} = \mathbf{R}_{WG} \mathbf{t}_{GB} + \mathbf{t}_{WG}$.

$$\mathbf{T}_{BG} = \begin{bmatrix} \mathbf{R}_Z(a_\theta) & \mathbf{a}_t \\ \mathbf{0}^\top & 1 \end{bmatrix}$$





卫星导航

注意：如果车辆的姿态未知（双天线不一定都有效），此时会发生什么？

$$\mathbf{R}_{WB} = \mathbf{R}_{WG}\mathbf{R}_{GB}, \quad \mathbf{t}_{WB} = \mathbf{R}_{WG}\mathbf{t}_{GB} + \mathbf{t}_{WG}.$$

即使另一根天线有效，即 \mathbf{t}_{WG} 有效，但车辆的平移依然无法测出。此时我们不能直接将GNSS的平移观测视为车辆的平移观测

□ 结论

- 如果双天线均有效，则车辆位姿观测有效；
- 如果单天线有效，但RTK与车体存在平移，则车辆位置和姿态观测均不能拿到，但此时可以使用估计出来的车辆姿态来推测RTK的平移。



卫星导航

□ 实践：读取、转换RTK轨迹并显示

4. ESKF推导



ESKF推导

GNSS+IMU=GINS，是常见的组合导航形态，其原理相对简单，可以使用卡尔曼滤波器来实现。

下面推导一种流形上的误差卡尔曼滤波器（on Manifold Error state Kalman Filter），其形式比传统滤波器简单一些。



组合导航接收机



ESKF推导

滤波器状态变量: $\mathbf{x} = [\mathbf{p}, \mathbf{v}, \mathbf{R}, \mathbf{b}_g, \mathbf{b}_a, \mathbf{g}]^\top$,

运动学方程: $\dot{\mathbf{p}} = \mathbf{v}$,

$$\dot{\mathbf{v}} = \mathbf{R}(\tilde{\mathbf{a}} - \mathbf{b}_a - \boldsymbol{\eta}_a) + \mathbf{g},$$

$$\dot{\mathbf{R}} = \mathbf{R}(\tilde{\boldsymbol{\omega}} - \mathbf{b}_g - \boldsymbol{\eta}_g)^\wedge,$$

$$\dot{\mathbf{b}}_g = \boldsymbol{\eta}_{bg},$$

$$\dot{\mathbf{b}}_a = \boldsymbol{\eta}_{ba},$$

$$\dot{\mathbf{g}} = \mathbf{0}.$$

卡尔曼更新: $\mathbf{x}_k = \mathbf{x}_{k,\text{pred}} + \underbrace{\mathbf{K}_k (\mathbf{z}_k - \mathbf{H}_k \mathbf{x}_{k,\text{pred}})}_{\text{更新量}}.$

线性化: $\mathbf{x}(t + dt) = \mathbf{f}(\mathbf{x}(t)) + \mathbf{F}(\mathbf{x})dt + \mathbf{w},$

一些现实的问题:

1. 如果 \mathbf{x} 中的旋转以 \mathbf{R} 表示, 如何来对 \mathbf{x} 求导?
2. 如果 \mathbf{x} 中的平移用UTM坐标表示, 如何处理数值范围的有效性?
3. 更新量如何写成流形上的加法?

一种解决方案:

把整个滤波器的状态都设置为切空间上的矢量状态, 算完以后再与流形上的状态进行合并。



ESKF推导

□ 误差卡尔曼滤波器

- 将整个状态变量（真值）分成**名义状态变量（nominal state）**和**误差状态变量（error state）**；
- 名义状态变量不含噪声，误差状态变量含有噪声；
- 利用卡尔曼滤波器估计误差状态变量（和它的协方差），最后合并到下一轮的名义状态变量中。

□ 流程

预测过程

1. 名义状态变量使用IMU递推；
2. 误差状态变量方差增大；

更新过程

1. 利用观测方程计算误差状态变量；
2. 利用卡尔曼增益将误差状态变量合并到名义状态变量中；
3. 更新误差状态变量的协方差矩阵。



ESKF推导

真值状态和先前表达一致：

$$\dot{\mathbf{p}}_t = \mathbf{v}_t,$$

$$\dot{\mathbf{v}}_t = \mathbf{R}_t(\tilde{\mathbf{a}} - \mathbf{b}_{at} - \boldsymbol{\eta}_a) + \mathbf{g}_t,$$

$$\dot{\mathbf{R}}_t = \mathbf{R}_t (\tilde{\boldsymbol{\omega}} - \mathbf{b}_{gt} - \boldsymbol{\eta}_g)^\wedge,$$

$$\dot{\mathbf{b}}_{gt} = \boldsymbol{\eta}_{bg},$$

$$\dot{\mathbf{b}}_{at} = \boldsymbol{\eta}_{ba},$$

$$\dot{\mathbf{g}}_t = \mathbf{0}.$$

拆分：

$$\mathbf{p}_t = \mathbf{p} + \delta \mathbf{p},$$

$$\mathbf{v}_t = \mathbf{v} + \delta \mathbf{v},$$

$$\mathbf{R}_t = \mathbf{R} \delta \mathbf{R} \quad \text{或} \quad \mathbf{q}_t = \mathbf{q} \delta \mathbf{q}, \quad \text{或者} \quad \text{Exp}(\delta \boldsymbol{\theta})$$

$$\mathbf{b}_{gt} = \mathbf{b}_g + \delta \mathbf{b}_g,$$

$$\mathbf{b}_{at} = \mathbf{b}_a + \delta \mathbf{b}_a,$$

$$\mathbf{g}_t = \mathbf{g} + \delta \mathbf{g}.$$

现在我们要关心误差状态的时间导数（即它的运动学）：



ESKF推导

$$\mathbf{p}_t = \mathbf{p} + \delta \mathbf{p},$$

$$\mathbf{v}_t = \mathbf{v} + \delta \mathbf{v},$$

$$\mathbf{R}_t = \mathbf{R} \delta \mathbf{R} \quad \text{或} \quad \mathbf{q}_t = \mathbf{q} \delta \mathbf{q},$$

$$\mathbf{b}_{gt} = \mathbf{b}_g + \delta \mathbf{b}_g,$$

$$\mathbf{b}_{at} = \mathbf{b}_a + \delta \mathbf{b}_a,$$

$$\mathbf{g}_t = \mathbf{g} + \delta \mathbf{g}.$$

真值状态=名义+误差

$$\dot{\mathbf{p}}_t = \mathbf{v}_t,$$

$$\dot{\mathbf{v}}_t = \mathbf{R}_t (\tilde{\mathbf{a}} - \mathbf{b}_{at} - \boldsymbol{\eta}_a) + \mathbf{g}_t,$$

$$\dot{\mathbf{R}}_t = \mathbf{R}_t (\tilde{\boldsymbol{\omega}} - \mathbf{b}_{gt} - \boldsymbol{\eta}_g)^\wedge,$$

$$\dot{\mathbf{b}}_{gt} = \boldsymbol{\eta}_{bg},$$

$$\dot{\mathbf{b}}_{at} = \boldsymbol{\eta}_{ba},$$

$$\dot{\mathbf{g}}_t = \mathbf{0}.$$

真值时间导数

$$\delta \dot{\mathbf{p}} = \delta \mathbf{v},$$

$$\delta \dot{\mathbf{b}}_g = \boldsymbol{\eta}_{bg},$$

$$\delta \dot{\mathbf{b}}_a = \boldsymbol{\eta}_{ba},$$

$$\delta \dot{\mathbf{g}} = \mathbf{0}.$$

误差的时间导数

$\delta \mathbf{R}, \delta \mathbf{v}$ 部分继续讨论



ESKF推导

$$\left. \begin{array}{l} \text{旋转部分: } \dot{\mathbf{R}}_t = \dot{\mathbf{R}}\text{Exp}(\delta\boldsymbol{\theta}) + \mathbf{R}\text{Exp}(\dot{\delta\boldsymbol{\theta}}), \\ \quad \quad \quad \stackrel{3.25(c)}{=} \mathbf{R}_t (\tilde{\boldsymbol{\omega}} - \mathbf{b}_{gt} - \boldsymbol{\eta}_g)^\wedge. \\ \text{另一方面: } \text{Exp}(\dot{\delta\boldsymbol{\theta}}) = \text{Exp}(\delta\boldsymbol{\theta})\delta\dot{\boldsymbol{\theta}}^\wedge. \end{array} \right\} \Rightarrow \dot{\mathbf{R}}\text{Exp}(\delta\boldsymbol{\theta}) + \mathbf{R}\text{Exp}(\dot{\delta\boldsymbol{\theta}}) = \mathbf{R}(\tilde{\boldsymbol{\omega}} - \mathbf{b}_g)^\wedge \text{Exp}(\delta\boldsymbol{\theta}) + \mathbf{R}\text{Exp}(\delta\boldsymbol{\theta})\delta\dot{\boldsymbol{\theta}}^\wedge.$$

根据误差状态定义: $\mathbf{R}_t (\tilde{\boldsymbol{\omega}} - \mathbf{b}_{gt} - \boldsymbol{\eta}_g)^\wedge = \mathbf{R}\text{Exp}(\delta\boldsymbol{\theta}) (\tilde{\boldsymbol{\omega}} - \mathbf{b}_{gt} - \boldsymbol{\eta}_g)^\wedge.$

去掉 \mathbf{R} , 把Exp挪到左侧: $\text{Exp}(\delta\boldsymbol{\theta})\delta\dot{\boldsymbol{\theta}}^\wedge = \text{Exp}(\delta\boldsymbol{\theta}) (\tilde{\boldsymbol{\omega}} - \mathbf{b}_{gt} - \boldsymbol{\eta}_g)^\wedge - (\tilde{\boldsymbol{\omega}} - \mathbf{b}_g)^\wedge \text{Exp}(\delta\boldsymbol{\theta}).$

$$\begin{aligned} \text{整理右侧式子: } \text{Exp}(\delta\boldsymbol{\theta})\delta\dot{\boldsymbol{\theta}}^\wedge &= \text{Exp}(\delta\boldsymbol{\theta}) (\tilde{\boldsymbol{\omega}} - \mathbf{b}_{gt} - \boldsymbol{\eta}_g)^\wedge - \text{Exp}(\delta\boldsymbol{\theta}) (\text{Exp}(-\delta\boldsymbol{\theta})(\tilde{\boldsymbol{\omega}} - \mathbf{b}_g))^\wedge \\ &= \text{Exp}(\delta\boldsymbol{\theta}) [(\tilde{\boldsymbol{\omega}} - \mathbf{b}_{gt} - \boldsymbol{\eta}_g)^\wedge - (\text{Exp}(-\delta\boldsymbol{\theta})(\tilde{\boldsymbol{\omega}} - \mathbf{b}_g))^\wedge] \\ &\approx \text{Exp}(\delta\boldsymbol{\theta}) [(\tilde{\boldsymbol{\omega}} - \mathbf{b}_{gt} - \boldsymbol{\eta}_g)^\wedge - ((\mathbf{I} - \delta\boldsymbol{\theta}^\wedge)(\tilde{\boldsymbol{\omega}} - \mathbf{b}_g))^\wedge] \\ &= \text{Exp}(\delta\boldsymbol{\theta}) [\mathbf{b}_g - \mathbf{b}_{gt} - \boldsymbol{\eta}_g + \delta\boldsymbol{\theta}^\wedge \tilde{\boldsymbol{\omega}} - \delta\boldsymbol{\theta}^\wedge \mathbf{b}_g]^\wedge \\ &= \text{Exp}(\delta\boldsymbol{\theta}) [(-\tilde{\boldsymbol{\omega}} + \mathbf{b}_g)^\wedge \delta\boldsymbol{\theta} - \delta\mathbf{b}_g - \boldsymbol{\eta}_g]^\wedge. \end{aligned}$$

这里用到:

$$\boldsymbol{\phi}^\wedge \mathbf{R} = \mathbf{R}(\mathbf{R}^\top \boldsymbol{\phi})^\wedge$$

约掉左侧Exp: $\delta\dot{\boldsymbol{\theta}} \approx -(\tilde{\boldsymbol{\omega}} - \mathbf{b}_g)^\wedge \delta\boldsymbol{\theta} - \delta\mathbf{b}_g - \boldsymbol{\eta}_g.$

即误差状态的旋转部分运动学。



ESKF推导

速度部分: $\dot{\mathbf{v}}_t = \mathbf{R}_t(\tilde{\mathbf{a}} - \mathbf{b}_{at} - \boldsymbol{\eta}_a) + \mathbf{g}_t$

$$= \mathbf{R} \text{Exp}(\delta\boldsymbol{\theta})(\tilde{\mathbf{a}} - \mathbf{b}_a - \delta\mathbf{b}_a - \boldsymbol{\eta}_a) + \mathbf{g} + \delta\mathbf{g}$$

$$\approx \mathbf{R}(\mathbf{I} + \delta\boldsymbol{\theta}^\wedge)(\tilde{\mathbf{a}} - \mathbf{b}_a - \delta\mathbf{b}_a - \boldsymbol{\eta}_a) + \mathbf{g} + \delta\mathbf{g}$$

$$\approx \mathbf{R}\tilde{\mathbf{a}} - \mathbf{R}\mathbf{b}_a - \mathbf{R}\delta\mathbf{b}_a - \mathbf{R}\boldsymbol{\eta}_a + \mathbf{R}\delta\boldsymbol{\theta}^\wedge\tilde{\mathbf{a}} - \mathbf{R}\delta\boldsymbol{\theta}^\wedge\mathbf{b}_a + \mathbf{g} + \delta\mathbf{g}$$

$$= \mathbf{R}\tilde{\mathbf{a}} - \mathbf{R}\mathbf{b}_a - \mathbf{R}\delta\mathbf{b}_a - \mathbf{R}\boldsymbol{\eta}_a - \mathbf{R}\tilde{\mathbf{a}}^\wedge\delta\boldsymbol{\theta} + \mathbf{R}\mathbf{b}_a^\wedge\delta\boldsymbol{\theta} + \mathbf{g} + \delta\mathbf{g}.$$

同时有: $\dot{\mathbf{v}} + \delta\dot{\mathbf{v}} = \mathbf{R}(\tilde{\mathbf{a}} - \mathbf{b}_a) + \mathbf{g} + \delta\dot{\mathbf{v}}.$

因此: $\delta\dot{\mathbf{v}} = -\mathbf{R}(\tilde{\mathbf{a}} - \mathbf{b}_a)^\wedge\delta\boldsymbol{\theta} - \mathbf{R}\delta\mathbf{b}_a - \mathbf{R}\boldsymbol{\eta}_a + \delta\mathbf{g}.$

对白噪声变量做旋转, 不改变其均值和协方差大小, 因此:

$$\delta\dot{\mathbf{v}} = -\mathbf{R}(\tilde{\mathbf{a}} - \mathbf{b}_a)^\wedge\delta\boldsymbol{\theta} - \mathbf{R}\delta\mathbf{b}_a - \boldsymbol{\eta}_a + \delta\mathbf{g}.$$

$$\dot{\mathbf{p}}_t = \mathbf{v}_t,$$

$$\dot{\mathbf{v}}_t = \mathbf{R}_t(\tilde{\mathbf{a}} - \mathbf{b}_{at} - \boldsymbol{\eta}_a) + \mathbf{g}_t,$$

$$\dot{\mathbf{R}}_t = \mathbf{R}_t (\tilde{\boldsymbol{\omega}} - \mathbf{b}_{gt} - \boldsymbol{\eta}_g)^\wedge,$$

$$\dot{\mathbf{b}}_{gt} = \boldsymbol{\eta}_{bg},$$

$$\dot{\mathbf{b}}_{at} = \boldsymbol{\eta}_{ba},$$

$$\dot{\mathbf{g}}_t = \mathbf{0}.$$



ESKF推导

$$\delta \dot{\mathbf{p}} = \delta \mathbf{v},$$

$$\delta \dot{\mathbf{b}}_g = \boldsymbol{\eta}_{bg},$$

$$\delta \dot{\mathbf{b}}_a = \boldsymbol{\eta}_{ba},$$

$$\delta \dot{\mathbf{g}} = \mathbf{0}.$$

$$\delta \dot{\boldsymbol{\theta}} \approx -(\tilde{\boldsymbol{\omega}} - \mathbf{b}_g)^\wedge \delta \boldsymbol{\theta} - \delta \mathbf{b}_g - \boldsymbol{\eta}_g.$$

$$\delta \dot{\mathbf{v}} = -\mathbf{R}(\tilde{\mathbf{a}} - \mathbf{b}_a)^\wedge \delta \boldsymbol{\theta} - \mathbf{R} \delta \mathbf{b}_a - \mathbf{R} \boldsymbol{\eta}_a + \delta \mathbf{g}.$$

整理:

$$\delta \dot{\mathbf{p}} = \delta \mathbf{v},$$

$$\delta \dot{\mathbf{v}} = -\mathbf{R}(\tilde{\mathbf{a}} - \mathbf{b}_a)^\wedge \delta \boldsymbol{\theta} - \mathbf{R} \delta \mathbf{b}_a - \boldsymbol{\eta}_a + \delta \mathbf{g},$$

$$\delta \dot{\boldsymbol{\theta}} = -(\tilde{\boldsymbol{\omega}} - \mathbf{b}_g)^\wedge \delta \boldsymbol{\theta} - \delta \mathbf{b}_g - \boldsymbol{\eta}_g,$$

$$\delta \dot{\mathbf{b}}_g = \boldsymbol{\eta}_{bg},$$

$$\delta \dot{\mathbf{b}}_a = \boldsymbol{\eta}_{ba},$$

$$\delta \dot{\mathbf{g}} = \mathbf{0}.$$

该式即连续时间下的误差状态运动学，
下面考虑对它在离散时间下做线性化。



ESKF推导

$$\delta \dot{\mathbf{p}} = \delta \mathbf{v},$$

$$\delta \dot{\mathbf{v}} = -\mathbf{R}(\tilde{\mathbf{a}} - \mathbf{b}_a)^\wedge \delta \boldsymbol{\theta} - \mathbf{R} \delta \mathbf{b}_a - \boldsymbol{\eta}_a + \delta \mathbf{g},$$

$$\delta \dot{\boldsymbol{\theta}} = -(\tilde{\boldsymbol{\omega}} - \mathbf{b}_g)^\wedge \delta \boldsymbol{\theta} - \delta \mathbf{b}_g - \boldsymbol{\eta}_g,$$

$$\delta \dot{\mathbf{b}}_g = \boldsymbol{\eta}_{bg},$$

$$\delta \dot{\mathbf{b}}_a = \boldsymbol{\eta}_{ba},$$

$$\delta \dot{\mathbf{g}} = \mathbf{0}.$$

离散时间：

名义状态

误差状态

$$\mathbf{p}(t + \Delta t) = \mathbf{p}(t) + \mathbf{v} \Delta t + \frac{1}{2} (\mathbf{R}(\tilde{\mathbf{a}} - \mathbf{b}_a)) \Delta t^2 + \frac{1}{2} \mathbf{g} \Delta t^2,$$

$$\mathbf{v}(t + \Delta t) = \mathbf{v}(t) + \mathbf{R}(\tilde{\mathbf{a}} - \mathbf{b}_a) \Delta t + \mathbf{g} \Delta t,$$

$$\mathbf{R}(t + \Delta t) = \mathbf{R}(t) \text{Exp}((\tilde{\boldsymbol{\omega}} - \mathbf{b}_g) \Delta t),$$

$$\mathbf{b}_g(t + \Delta t) = \mathbf{b}_g(t),$$

$$\mathbf{b}_a(t + \Delta t) = \mathbf{b}_a(t),$$

$$\mathbf{g}(t + \Delta t) = \mathbf{g}(t).$$

$$\delta \mathbf{p}(t + \Delta t) = \delta \mathbf{p} + \delta \mathbf{v} \Delta t,$$

$$\delta \mathbf{v}(t + \Delta t) = \delta \mathbf{v} + (-\mathbf{R}(\tilde{\mathbf{a}} - \mathbf{b}_a)^\wedge \delta \boldsymbol{\theta} - \mathbf{R} \delta \mathbf{b}_a + \delta \mathbf{g}) \Delta t - \boldsymbol{\eta}_v,$$

$$\delta \boldsymbol{\theta}(t + \Delta t) = \text{Exp}(-(\tilde{\boldsymbol{\omega}} - \mathbf{b}_g) \Delta t) \delta \boldsymbol{\theta} - \delta \mathbf{b}_g \Delta t - \boldsymbol{\eta}_\theta,$$

$$\delta \mathbf{b}_g(t + \Delta t) = \delta \mathbf{b}_g + \boldsymbol{\eta}_{bg},$$

$$\delta \mathbf{b}_a(t + \Delta t) = \delta \mathbf{b}_a + \boldsymbol{\eta}_{ba},$$

$$\delta \mathbf{g}(t + \Delta t) = \delta \mathbf{g}.$$

离散噪声变量的标准差：

$$\sigma(\boldsymbol{\eta}_v) = \Delta t \sigma_a(k), \quad \sigma(\boldsymbol{\eta}_\theta) = \Delta t \sigma_g(k), \quad \sigma(\boldsymbol{\eta}_{bg}) = \sqrt{\Delta t} \sigma_{bg}, \quad \sigma(\boldsymbol{\eta}_{ba}) = \sqrt{\Delta t} \sigma_{ba},$$



ESKF推导

在ESKF中，需要对离散时间的误差状态变量求线性化：

连续时间： $\delta \dot{\mathbf{x}} = \mathbf{f}(\delta \mathbf{x}) + \mathbf{w}, \mathbf{w} \sim \mathcal{N}(0, \mathbf{Q})$,

离散时间： $\delta \mathbf{x}(t + \Delta t) = \mathbf{F} \delta \mathbf{x}(t) + \mathbf{w}$,

$$\delta \mathbf{p}(t + \Delta t) = \delta \mathbf{p} + \delta \mathbf{v} \Delta t,$$

$$\delta \mathbf{v}(t + \Delta t) = \delta \mathbf{v} + (-\mathbf{R}(\tilde{\mathbf{a}} - \mathbf{b}_a)^\wedge \delta \boldsymbol{\theta} - \mathbf{R} \delta \mathbf{b}_a + \delta \mathbf{g}) \Delta t - \boldsymbol{\eta}_v,$$

$$\delta \boldsymbol{\theta}(t + \Delta t) = \text{Exp}(-(\tilde{\boldsymbol{\omega}} - \mathbf{b}_g) \Delta t) \delta \boldsymbol{\theta} - \delta \mathbf{b}_g \Delta t - \boldsymbol{\eta}_\theta,$$

$$\delta \mathbf{b}_g(t + \Delta t) = \delta \mathbf{b}_g + \boldsymbol{\eta}_{bg},$$

$$\delta \mathbf{b}_a(t + \Delta t) = \delta \mathbf{b}_a + \boldsymbol{\eta}_{ba},$$

$$\delta \mathbf{g}(t + \Delta t) = \delta \mathbf{g}.$$

于是，预测过程具体化为：

$$\delta \mathbf{x}_{\text{pred}} = \mathbf{F} \delta \mathbf{x},$$

$$\mathbf{P}_{\text{pred}} = \mathbf{F} \mathbf{P} \mathbf{F}^\top + \mathbf{Q}.$$

上面已经是线性形式了，因此： $\mathbf{Q} = \text{diag}(\mathbf{0}_3, \text{Cov}(\boldsymbol{\eta}_v), \text{Cov}(\boldsymbol{\eta}_\theta), \text{Cov}(\boldsymbol{\eta}_g), \text{Cov}(\boldsymbol{\eta}_a), \mathbf{0}_3)$,

$$\mathbf{F} = \begin{bmatrix} \mathbf{I} & \mathbf{I} \Delta t & \mathbf{0} & \mathbf{0} & \mathbf{0} & \mathbf{0} \\ \mathbf{0} & \mathbf{I} & -\mathbf{R}(\tilde{\mathbf{a}} - \mathbf{b}_a)^\wedge \Delta t & \mathbf{0} & -\mathbf{R} \Delta t & \mathbf{I} \Delta t \\ \mathbf{0} & \mathbf{0} & \text{Exp}(-(\tilde{\boldsymbol{\omega}} - \mathbf{b}_g) \Delta t) & -\mathbf{I} \Delta t & \mathbf{0} & \mathbf{0} \\ \mathbf{0} & \mathbf{0} & \mathbf{0} & \mathbf{I} & \mathbf{0} & \mathbf{0} \\ \mathbf{0} & \mathbf{0} & \mathbf{0} & \mathbf{0} & \mathbf{I} & \mathbf{0} \\ \mathbf{0} & \mathbf{0} & \mathbf{0} & \mathbf{0} & \mathbf{0} & \mathbf{I} \end{bmatrix}.$$



ESKF推导

预测过程为：

$$\delta \mathbf{x}_{\text{pred}} = \mathbf{F} \delta \mathbf{x},$$

$$\mathbf{P}_{\text{pred}} = \mathbf{F} \mathbf{P} \mathbf{F}^{\top} + \mathbf{Q}.$$

预测过程的直观解释：

1. 误差状态进行了线性变化，但由于观测时会把误差状态置零，所以第一式可以跳过；
2. 协方差部分进行了线性变化并增加了Q，直观上看是变大的，即误差状态变得更不确定了（因为IMU测量带有噪声）。



ESKF推导

ESKF的更新

抽象的观测方程: $\boldsymbol{z} = \boldsymbol{h}(\boldsymbol{x}) + \boldsymbol{v}, \boldsymbol{v} \sim \mathcal{N}(\mathbf{0}, \boldsymbol{V}),$

线性化后: $\boldsymbol{H} = \left. \frac{\partial \boldsymbol{h}}{\partial \delta \boldsymbol{x}} \right|_{\boldsymbol{x}_{\text{pred}}},$

观测的处理同EKF: $\boldsymbol{K} = \boldsymbol{P}_{\text{pred}} \boldsymbol{H}^\top (\boldsymbol{H} \boldsymbol{P}_{\text{pred}} \boldsymbol{H}^\top + \boldsymbol{V})^{-1},$

$$\delta \boldsymbol{x} = \boldsymbol{K}(\boldsymbol{z} - \boldsymbol{h}(\boldsymbol{x}_{\text{pred}})),$$

$$\boldsymbol{x} = \boldsymbol{x}_{\text{pred}} + \delta \boldsymbol{x},$$

$$\boldsymbol{P} = (\boldsymbol{I} - \boldsymbol{K} \boldsymbol{H}) \boldsymbol{P}_{\text{pred}}.$$

接下来，我们会讨论具体的观测方程实现。



ESKF推导

将修正的误差状态合入名义状态：

$$\mathbf{p}_{k+1} = \mathbf{p}_k + \delta \mathbf{p}_k,$$

$$\mathbf{v}_{k+1} = \mathbf{v}_k + \delta \mathbf{v}_k,$$

$$\mathbf{R}_{k+1} = \mathbf{R}_k \text{Exp}(\delta \boldsymbol{\theta}_k),$$

$$\mathbf{b}_{g,k+1} = \mathbf{b}_{g,k} + \delta \mathbf{b}_{g,k},$$

$$\mathbf{b}_{a,k+1} = \mathbf{b}_{a,k} + \delta \mathbf{b}_{a,k},$$

$$\mathbf{g}_{k+1} = \mathbf{g}_k + \delta \mathbf{g}_k.$$

滤波器的状态变量 $\mathbf{x} = [\mathbf{p}, \mathbf{v}, \mathbf{R}, \mathbf{b}_g, \mathbf{b}_a, \mathbf{g}]^\top$

也可以写成： $\mathbf{x}_{k+1} = \mathbf{x}_k \oplus \delta \mathbf{x}_k,$

最后重置误差状态： $\delta \mathbf{x} = \mathbf{0}.$

协方差部分可以直接使用前面的协方差，或者仔细点的话，需要考虑切空间投影。



ESKF推导

为什么需要切空间投影？

- 在卡尔曼修正以后，均值与协方差实际上是预测点处的高斯分布： $\mathcal{N}(\delta\mathbf{x}, \mathbf{P})$
- 而在下一轮状态估计时，应该是 $\mathbf{x}_{\text{pred}} + \delta\mathbf{x}$ 处的： $\mathcal{N}(0, \mathbf{P}_{\text{reset}})$

注：严格来说，这两个工作点是不同的，它们的切空间也是不同的，于是 \mathbf{P} 需要有一个重置的过程。主要影响旋转部分（流形处理）。

重置以前：

\mathbf{R}_k

$\delta\boldsymbol{\theta}$

$\delta\boldsymbol{\theta}_k$

名义状态

误差状态

滤波器更新量（注意是数值）

重置以后： $\mathbf{R}_k \text{Exp}(\delta\boldsymbol{\theta}_k) = \mathbf{R}^+$

$\delta\boldsymbol{\theta}^+ = \mathbf{0}$

考虑两个误差状态的线性化关系（影响协方差的转换）

名义状态

误差状态



ESKF推导

重置前后: $\mathbf{R}^+ \text{Exp}(\delta\boldsymbol{\theta}^+) = \mathbf{R}_k \text{Exp}(\delta\boldsymbol{\theta}_k) \text{Exp}(\delta\boldsymbol{\theta}^+) = \mathbf{R}_k \text{Exp}(\delta\boldsymbol{\theta}).$

得到: $\text{Exp}(\delta\boldsymbol{\theta}^+) = \text{Exp}(-\delta\boldsymbol{\theta}_k) \text{Exp}(\delta\boldsymbol{\theta}),$

展开: $\delta\boldsymbol{\theta}^+ = -\delta\boldsymbol{\theta}_k + \delta\boldsymbol{\theta} - \frac{1}{2}\delta\boldsymbol{\theta}_k^\wedge \delta\boldsymbol{\theta} + o((\delta\boldsymbol{\theta})^2).$ 所以重置前后发生了近似的线性变换

于是得到重置前后的线性关系: $\frac{\partial \delta\boldsymbol{\theta}^+}{\partial \delta\boldsymbol{\theta}} \approx \mathbf{I} - \frac{1}{2}\delta\boldsymbol{\theta}_k^\wedge.$ 记作: $\mathbf{J}_\theta = \mathbf{I} - \frac{1}{2}\delta\boldsymbol{\theta}_k^\wedge$

把其他变量块也放进来: $\mathbf{J}_k = \text{diag}(\mathbf{I}_3, \mathbf{I}_3, \mathbf{J}_\theta, \mathbf{I}_3, \mathbf{I}_3, \mathbf{I}_3),$

故: $\mathbf{P}_{\text{reset}} = \mathbf{J}_k \mathbf{P} \mathbf{J}_k^\top.$ 实际上很接近单位阵, 所以实现当中也可以不作处理。



ESKF推导

ESKF的代码实现

6DoF GNSS观测方程的处理: $\mathbf{R}_{\text{gnss}}, \mathbf{p}_{\text{gnss}}$

原本GNSS观测是对真值状态的观测: $\mathbf{R}_{\text{gnss}} = \mathbf{R}\text{Exp}(\delta\boldsymbol{\theta})$,

此时: $\mathbf{z}_{\delta\boldsymbol{\theta}} = \mathbf{h}(\delta\boldsymbol{\theta}) = \text{Log}(\mathbf{R}^\top \mathbf{R}_{\text{gnss}})$.

那么雅可比矩阵简化为: $\frac{\partial \mathbf{z}_{\delta\boldsymbol{\theta}}}{\partial \delta\boldsymbol{\theta}} = \mathbf{I}$.

平移部分比较简单: $\mathbf{p}_{\text{gnss}} = \mathbf{p} + \delta\mathbf{p}$.

$$\frac{\partial \mathbf{p}_{\text{gnss}}}{\partial \delta\mathbf{p}} = \mathbf{I}_{3 \times 3}.$$

但由于名义状态是确定的, 也可以视作对误差状态的观测

此时, 更新量和更新方程实现为:

$$\mathbf{z} - \mathbf{h}(\mathbf{x}) = [\mathbf{p}_{\text{gnss}} - \mathbf{p}, \text{Log}(\mathbf{R}^\top \mathbf{R}_{\text{gnss}})]^\top.$$

$$\mathbf{x} = \mathbf{x}_{\text{pred}} + \mathbf{K}(\mathbf{z} - \mathbf{h}(\mathbf{x})).$$



ESKF推导

静止初始化:

1. 将 IMU 静止一段给定的时间 (程序中设置为 10 秒); 静止检查由轮速计判定, 当两轮的轮速均小于阈值时, 认为车辆静止。在没有轮速测量的场合, 也可以直接认为车辆静止, 来测定相关变量;
2. 统计静止时间内的陀螺仪与加计读数均值, 记为 $\bar{\mathbf{d}}_{\text{gyr}}, \bar{\mathbf{d}}_{\text{acc}}$;
3. 由于车辆并未发生转动, 这段时间的陀螺均值可以取 $\mathbf{b}_g = \bar{\mathbf{d}}_{\text{gyr}}$ 。
4. 加速度计的测量方程为:

$$\tilde{\mathbf{a}} = \mathbf{R}^\top (\mathbf{a} - \mathbf{g}) + \mathbf{b}_a + \boldsymbol{\eta}_a. \quad (3.71)$$

当车辆实际加速度为零, 旋转视为 $\mathbf{R} = \mathbf{I}$ 时^①, 加计实际测到 $\mathbf{b}_a - \mathbf{g}$, 其中 \mathbf{b}_a 为小量, \mathbf{g} 的长度可视为固定值。在这些前提下, 我们取方向为 $-\bar{\mathbf{d}}_{\text{acc}}$, 大小为 9.8 的矢量作为重力矢量。这一步确定了重力的朝向。

5. 现在将这段时间的加计读数去掉重力, 重新计算 $\bar{\mathbf{d}}_{\text{acc}}$;
6. 取 $\mathbf{b}_a = \bar{\mathbf{d}}_{\text{acc}}$ 。
7. 同时, 认为零偏不动, 估计陀螺仪和加计的测量方差。该方差可用于 ESKF 的噪声参数。



ESKF推导

□ 代码实现



ESKF推导

▣ 速度观测的处理

- 轮式编码器观测车辆在前进方向上的速度: $\mathbf{v}_{\text{wheel}} = [v_{\text{wheel}}, 0, 0]^\top$.
- 对应观测模型: $\mathbf{v}_{\text{wheel}} = \mathbf{R}^\top \mathbf{v}$,
- 更常见的做法: 固定R, 将速度观测转到世界坐标系:

$$\mathbf{R}\mathbf{v}_{\text{wheel}} = \mathbf{v}.$$

- 此时雅可比矩阵显然为: $\frac{\partial \mathbf{h}(\mathbf{x})}{\partial \mathbf{x}} = [\mathbf{0}_{3 \times 3}, \mathbf{I}_{3 \times 3}, \mathbf{0}_{3 \times 12}]$.
- 代码实现



习题

1. 证明：若某个高斯随机变量为零均值，协方差为对角线矩阵且大小相同（各向同性），那么在乘任意旋转矩阵以后，其均值仍为零，且协方差不变；
2. 在运动过程代码中，将 \mathbf{F} 矩阵拆开，分别为每种状态变量实现运动方程。请给出公式和代码实现的说明。
3. 推导左乘模型下的ESKF运动方程、噪声方程，并给出代码实现。